

1では、スタッド位置で、スタッドと鋼板との溶接部分に歪が生じて応力集中を伴い、鋼板の破断に至った。試験体HF2ではスターラップ位置で、試験体HF3ではずれ止め位置で、試験体HF1と同様の破壊形態となった。疲労試験での破壊形態は、静的試験とは若干異なる。静的試験では、曲げひび割れがスタッドやずれ止めより発生したが、終局時には、HF1、HF2ではコンクリートの圧縮破壊、HF3では大きなたわみが生じて破壊に至った。

(3) ひび割れ性状

梁のひび割れ性状の測定結果を図-4に示す。せん断スパン比が4.8であり、曲げが卓越することから、荷重の初期段階ではほとんどが曲げひび割れであった。破壊に近づくにつれてせん断ひび割れも生じた。各試験体では、ずれ止め位置より曲げひび割れが発生したが、試験体HF3は試験体HF1、HF2に比べて曲げひび割れの本数が少ない。ひび割れ幅の測定結果を図-5に示す。ひび割れ幅はある繰返し回数までは、ほぼ一定で、その後急激に増加を始めた。

(4) 鋼材のひずみ

図-6に梁下面の鋼板のひずみの測定結果を示す。同図は、鋼板の破断した位置付近における、繰返し荷重途中の最大荷重時におけるひずみ図である。試験体HF1、HF2においては、ある繰返し回数まではひずみ量の増加は少ないが、その後急激に増加を始めた。

4. まとめ

- ①ハイブリッド部材の疲労破壊は、鋼板とずれ止め（あるいはせん断補強筋）との溶接部より発生する。静的試験では、HF1、HF2がコンクリートの圧縮破壊、HF3は大きなたわみが生じて破壊に至った。
- ②今回の3種類のハイブリッド部材間では、有意な疲労特性の差はなかった。
- ③疲労破壊に至るまで曲げひび割れが優勢であった。ひび割れは、ずれ止め位置より集中的に発生し、この位置以外からのひび割れの発生は少なかった。

5. あとがき

今回は、ハイブリッド梁部材の疲労特性を実験的に調べた結果について述べたが、実際の波浪条件下での疲労耐力をどの程度保有するかを、今後検討していきたい。

参考文献

- 1)横田弘、清宮 理；鋼・コンクリート合成部材での形鋼によるずれ止めの耐荷力、港湾技研資料、NO. 595、1987年9月、24P
- 2)横田弘、清宮 理；鋼・コンクリート合成はりのせん断補強鉄筋が終局耐力に及ぼす影響第9回コンクリート工学年次講演会、1987年6月、pp.531~537

表-1 疲労試験結果

| NO | 試験体名 | 繰返し荷重(tf) | 最大繰返し回数 | 破壊状況 |
|----|------------------------|--------------------------------|--------------------|------------------|
| 1 | * HF1-0.6 (HF1-0.6) | ** *** 1~11.40 (1~11.40) | 63,550 (60,710) | 鋼板の破断 (鋼板の破断) |
| 2 | HF1-0.4 | 1~ 7.60 | 378,690 | 鋼板の破断 |
| 3 | HF1-0.3 | 1~ 5.70 | 924,820 | 鋼板の破断 |
| 4 | HF1-0.2 | 1~ 3.80 | 2,000,000 | 破壊せず |
| 5 | HF2-0.6 | 1~11.70 | 77,720 | 鋼板の破断 |
| 6 | HF2-0.5 | 1~ 9.75 | 128,090 | 鋼板の破断 |
| 7 | HF2-0.4 | 1~ 7.80 | 289,630 | 鋼板の破断 |
| 8 | HF2-0.3 | 1~ 5.85 | 1,256,930 | 鋼板の破断 |
| 9 | HF2-0.2 | 1~ 3.90 | 2,000,000 | 破壊せず |
| 10 | HF3-0.6 | 1~13.20 | 69,000 | 鋼板の破断 |
| 11 | HF3-0.5 | 1~11.00 | 187,400 | 鋼板の破断 |
| 12 | HF3-0.4 | 1~ 8.80 | 327,000 | 鋼板の破断 |
| 13 | HF3-0.3 | 1~ 6.60 | 1,058,790 | 鋼板の破断 |
| 14 | HF3-0.2 | 1~ 4.40 | 2,000,000 | 破壊せず |

上表中(i)* は荷重比（疲労荷重上限荷重/静的耐力）を示す
 (ii)** は疲労荷重下限荷重を示す。
 (iii)***は疲労荷重上限荷重を示す。

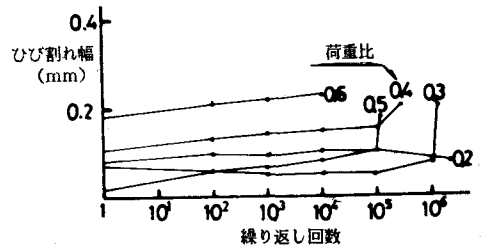


図-5 ひび割れ幅と繰返し回数との関係

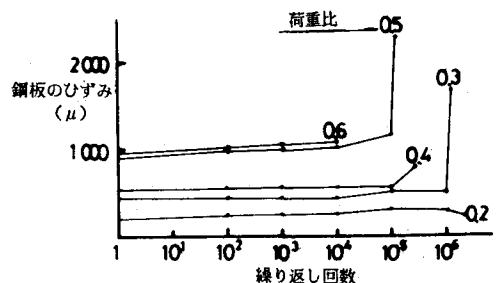


図-6 鋼板のひずみと繰返し回数との関係